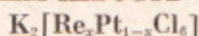


Н. А. СУББОТИНА, В. В. ЗЕЛЕНЦОВ, академик В. И. СПИЦЫН

МАГНИТНАЯ ВОСПРИИМЧИВОСТЬ ТВЕРДЫХ РАСТВОРОВ



Уменьшение эффективного магнитного момента у соединений второго и третьего переходных периодов по сравнению с «только спиновой» величиной обычно связывается с антиферромагнитным взаимодействием типа $M-L-M$ или $M-L-L-M$ из-за увеличения делокализации несвязанных электронов центрального атома на лиганды (¹⁻³). В частности, заниженный $\mu_{эфф}$ соединений типа M_2ReX_6 объясняется именно этим обстоятельством, несмотря на слоисто-островную структуру (⁴), казалось бы полностью исключающую всякую возможность магнитного обмена между

Таблица 1

Магнитная восприимчивость системы $K_2ReCl_6 - K_2PtCl_6$

	100% K_2ReCl_6									
$T^\circ K$	294	266	244	219	177	146	119	80		
$\chi_M \cdot 10^6$	4 711	5 026	5 389	5 790	6 653	7 422	8 415	10 109		
$\mu_{эфф}$	3,35	3,29	3,24	3,21	3,09	2,95	2,84	2,56		
	24,79% K_2ReCl_6									
$T^\circ K$	296	280	255	227	191	157	140	80		
$\chi_M \cdot 10^6$	4 723	4 997	5 485	6 054	7 094	8 348	9 170	14 340		
$\mu_{эфф}$	3,36	3,36	3,36	3,32	3,30	3,25	3,21	3,03		
	14,80% K_2ReCl_6									
$T^\circ K$	295	283	259	232	215	164	148	114	78	
$\chi_M \cdot 10^6$	4 819	5 017	5 475	6 159	6 589	8 427	9 453	11 550	14 702	
$\mu_{эфф}$	3,38	3,38	3,38	3,39	3,37	3,33	3,30	3,26	3,05	
	5,68% K_2ReCl_6									
$T^\circ K$	298	286	262	239	221	203	175	156	98	80
$\chi_M \cdot 10^6$	5 129	5 270	5 629	6 139	6 558	7 609	8 010	8 879	13 308	16 000
$\mu_{эфф}$	3,51	3,49	3,45	3,44	3,42	3,46	3,36	3,36	3,26	3,23

парамагнитными атомами. С другой стороны, Камимура и Сугано показали (⁷), что для элементов третьего переходного периода спин-орбитальное взаимодействие заметно влияет на $\mu_{эфф}$ даже в случае электронной конфигурации d^3 . В благоприятных условиях оба фактора могут оказывать соразмерное влияние на уменьшение магнитного момента. Поэтому целесообразно изучить зависимость μ от T для подобных соединений в условиях, которые исключали бы влияние спин-спинового обменного взаимодействия антиферромагнитного типа. Наиболее эффективен для этой цели метод диамагнитного разбавления. В работе (⁸) приведены результаты измерения магнитной восприимчивости K_2ReCl_6 , растворенного в K_2PtCl_6 , однако непонятно, получены ли эти данные экстраполированием к бесконечному разбавлению экспериментальных величин или относятся к какому-либо определенному составу. Авторы не сообщают также и результатов рентгенографического исследования, подтверждающих образование твер-

дых растворов в изучаемой системе. Поэтому мы считали целесообразным уточнить условия, при которых максимально исключается влияние спиинового обмена.

В настоящей работе сообщаются результаты исследования температурной зависимости $\mu_{\text{эф}}$ гексахлорорената калия, растворенного в изоморфном и диамагнитном гексахлороплатинате калия.

Твердые растворы $\text{K}_2\text{ReCl}_6 - \text{K}_2\text{PtCl}_6$ готовились тщательным растиранием в ступке соответствующих количеств исходных соединений и последующим растворением в горячем 1 M растворе HCl. При охлаждении на магнитной мешалке из раствора выкристаллизовывались однородные осадки.

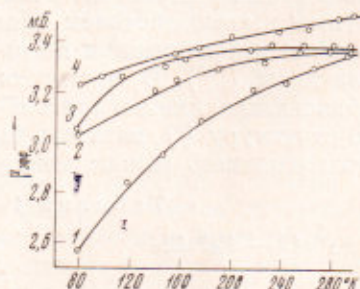


Рис. 1. Зависимость $\mu_{\text{эф}} - T^{\circ}\text{K}$ твердых растворов $\text{K}_2\text{ReCl}_6 - \text{K}_2\text{PtCl}_6$. 1 — 100% K_2ReCl_6 , 2 — 24,79, 3 — 14,80, 4 — 5,68%

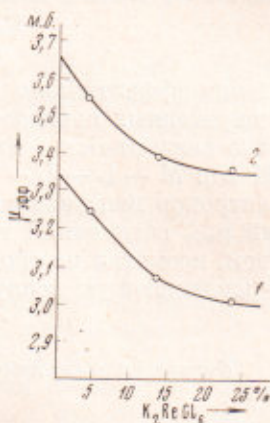


Рис. 2. Зависимость $\mu_{\text{эф}}$ — состав твердых растворов $\text{K}_2\text{ReCl}_6 - \text{K}_2\text{PtCl}_6$ при 80 (1) и 295° K (2)

Предварительными опытами найдено, что область существования твердых растворов исследуемой системы ограничена 30% K_2ReCl_6 . Рентгенографическое исследование системы $\text{K}_2\text{ReCl}_6 - \text{K}_2\text{PtCl}_6$ подтвердило образование твердых растворов. K_2ReCl_6 и K_2PtCl_6 имеют кубические гранецентрированные решетки с периодами $a = 9,861$ и $9,730$ Å соответственно (9, 10). Ниже представлены периоды решеток твердых растворов.

Концентрация K_2PtCl_6 , мол. %	100	94,32	85,20	75,24
a , Å	9,749	9,749	9,763	9,766

Измерение магнитной восприимчивости проводилось методом Фарадея в интервале температур 80—300° K в атмосфере газообразного аргона при давлении 20 мм рт. ст.

Вычисление восприимчивости выполнено на основе закона аддитивности Видемана по формуле:

$$\chi_{\text{т.р.}} = \chi_1\gamma_1 + \chi_2\gamma_2 + \dots + \chi_N\gamma_N$$

где χ_i и γ_i — восприимчивость и мольная доля i -го компонента системы. Восприимчивость K_2PtCl_6 в интервале температур 80—295° K постоянна и равна $\chi_{\text{т.р.}} = 200 \cdot 10^{-6}$.

Полученные данные представлены в табл. 1 и на рис. 1.

Как видно из данных табл. 1, магнитная восприимчивость растет с увеличением диамагнитного разбавления. Величина $\mu_{\text{эф}}$ иона Re(IV) при температуре $\sim 300^{\circ}\text{K}$ почти не зависит от концентрации. Для всех исследованных твердых растворов магнитный момент Re(IV) с уменьшением температуры снижается медленнее, чем в случае чистого K_2ReCl_6 . Так, для твердых растворов с концентрациями 24,79 и 14,80% K_2ReCl_6 величина $\mu_{\text{эф}}$ остается постоянной вплоть до 200° K и только после этой

температуры начинает уменьшаться. Экстраполирование кривых $\mu_{\text{эфф}}$ — состав к бесконечному разбавлению при температурах 80 и 295° К (рис. 2) дает величины магнитных моментов 3,37 и 3,66 м.Б. соответственно.

Авторы работы (7) считают, что величина $\eta^* = 1,3$, характеризующая примешивание состояний с меньшей мультиплетностью к основному посредством спин-орбитального взаимодействия, для K_2ReCl_6 вполне разумна. При внесении поправки на спин-орбитальное взаимодействие в магнитный момент по формуле $\mu_{\text{эфф}} = \mu_{\text{т.с}} \left(1 - \frac{4\zeta_d}{30Dq} \right)$ низкая величина магнитного момента при $T = 295^\circ \text{K}$ для K_2ReCl_6 становится объяснимой.

Проведенные нами исследования позволяют сделать вывод, что уменьшение эффективного магнитного момента K_2ReCl_6 при комнатной температуре определяется спин-орбитальным взаимодействием, тогда как при малых kT на первый план выступает спин-спиновый обмен антиферромагнитного типа.

Московский государственный университет
им. М. В. Ломоносова

Поступило
13 II 1970

Московский физико-технический институт

ЦИТИРОВАННАЯ ЛИТЕРАТУРА

- ¹ J. Owen, A. Cooke et al., Proc. Roy. Soc., A, 250, 97 (1959). ² Cf. Liddiard, Reports Progr. Phys., 17, 201 (1954). ³ B. N. Figgis, J. Lewis, T. E. Mabbs, J. Chem. Soc., 1961, 3138. ⁴ J. C. Eisenstein, J. Chem. Phys., 34, 1628 (1961). ⁵ В. И. Белова, Я. К. Сыркин и др., ЖСХ, 5, 281 (1964). ⁶ B. Elinor Adman, T. N. Margulis, Inorg. Chem., 6, 210 (1967). ⁷ H. Kamimura, S. Sugano, J. Phys. Soc. Japan, 15, 1264 (1961). ⁸ A. D. Westland, N. C. Bhiwandker, Canad. J. Chem., 39, 1284 (1961). ⁹ B. Aminoff, Zs. Krystallogr., 94, 247 (1936). ¹⁰ W. A. Frederikse, H. J. Verweel, Rec. trav. chim., Pays — Bas, 47, 904 (1928).

* $\eta = \zeta_d / (3B + C)$, где ζ_d — константа спин-орбитального взаимодействия для одного d -электрона, а B и C — параметры Рака.